

Петрология на Чучулигинските I-тип гранитоиди, Източни Родопи

Станислав Стойков, Божидар Маврудчиев

Stoykov, S., B. Mavrudchiev. 1997. Petrology of Chuchuliga I-type granitoides, Eastern Rhodopes. — *Geochem., Mineral. and Petrol.*, 32, 101-116

Chuchuliga graniteoides are located at the south of Madjarovo. They build up a single pluton with intrusive contacts on the area of 12 km², elongated in SES direction, intruded in the metamorphic rocks of Rhodopian group. The granitoides are composed of plagioclase, K-feldspar (orthoclase to middle microcline), quartz, biotite (Al^{IV} 0.09-0.33, $\text{Fe}/\text{Fe}+\text{Mg}$ 0.53-0.85) muscovite, magnetite, titanite, apatite, zircon, secondary allanite, quartz, sericite, epidote, chlorite. According to their chemical composition they belong to family of granites (Ca-alkaline granites, leucogranites, mid-alkaline granites, mid-alkaline leucogranites). They belong to high-K Ca-alkaline and Ca-alkaline series. The amount of Rb varies from 88 to 142 ppm, Sr 245±760 ppm, and Ba 140±970 ppm. According to R1/R2 diagram of Batchelor and Bowden (1988) the Chuchuliga granitoides fall in the field of anatetic magmatism (syn-orogenic). On the other hand, according to Pearce et al. (1984) Rb vs. SiO_2 diagram, they are classified as syn-collision granites. Calculated temperatures using two-feldspars thermometer of Stormer at given pressure (2-8 kbar) vary between 380 and 540°C and according to Fushima, Lindsay (1988) - between 440 and 480°C. These temperatures show the last solid phase reequilibrium of mineral paragenesis. Using criteria of Chappell, White (1974), White, Chappell (1988) and Barton, Chappell (1994) Chuchuliga granitoides belong to I-type, produced by partial melting of older igneous rocks.

Key words: I-type granites, Eastern Rhodopes, collision granites

Address: S. Stoykov — Bulgarian Academy of Sciences, Geological Institute, 1113 Sofia; B. Mavrudchiev — Sofia University ‘St. Kliment Ohridski’, 1540 Sofia

Ключови думи: I-тип гранити, Източни Родопи, колизионни гранити

Адрес: С. Стойков — Българска академия на науките, Геологически институт, 1113 София; Б. Маврудчиев — Софийски университет „Св. Климент Охридски“, 1540 София

Увод

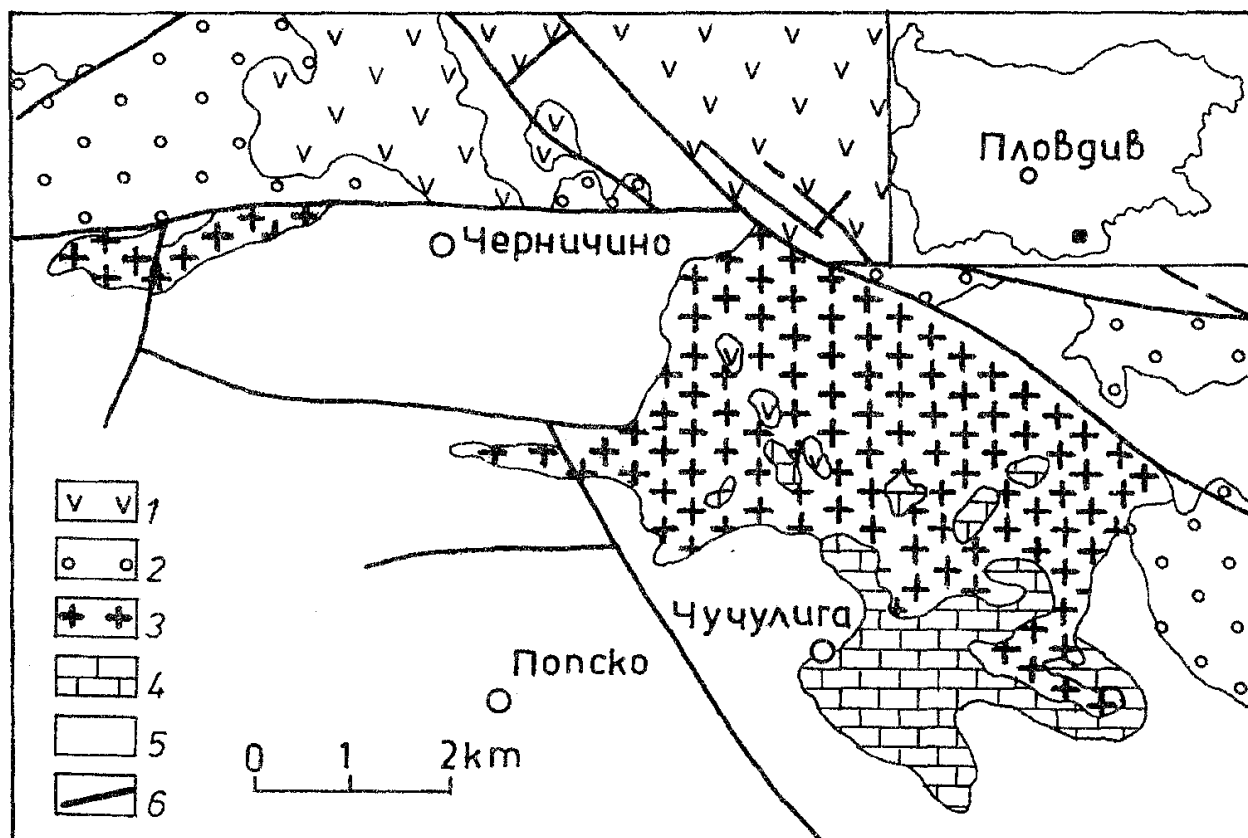
В пределите на Източните Родопи се разкриват редица доприабонски гранитоидни тела (Черничински, Чифлишки, Чучулигински, Розински и др.). Настоящата работа е посветена на едно от тях — на Чучулигинските гранитоиди.

Te са открити при картиране от Л. Атанасиева и др. през 1953 г. (непубликуван отчет, Комплексна геоложка експедиция). Названието Чучулигин-

ски гранити е въведено от Иванов (1961). Кратка геоложка характеристика дават Боянов и др. (1963). Б. Маврудчиев и др. (1971) правят петрографско описание на гранитоидите, свързаните с тях пегматити и скарни. Горанов и др. (1995) фигурират плутоничните тела на картен лист Крумовград и Сапе и ги обособяват като „Горна креда - левкократни гранити“ (Чучулигински - ch K₂-?). Белмустакова и др. (1995) обсъждат геоложката позиция, веществената характеристика, структурните параметри на K-фелдшпати, микросондови състави на биотити и мусковити, абсолютната възраст (39÷43 Ma) и геохимичната типизация на гранитоидните тела в пределите на Белоречкото подуване (Белидолско, Горноселско, Розинско, Черничинско, Чучулигинско). Чучулигинските гранитоиди са цитирани в многообразни статии с оглед на тектоно-магматични, геодинамични и металогенни интерпретации.

Геоложко положение

Чучулигинските гранитоидии се разкриват северно от едноименното село, южно от град Маджарово. Те изграждат единно плутонично тяло, удължено в ЮИ посока всред метаморфитите на Родопската надгрупа (гнейси, гранигнейси, амфиболити, ултрабазити, еклогити, мрамори, шисти). Чучулигинските гранитоиди имат интрузивни контакти с кристалината си рамка. Площта, която заемат на повърхността, възлиза на около 12 km² (фиг. 1).



Фиг. 1. Геоложка карта (по Горанов и др., 1992). Палеоген: 1 — латити, 2 — брекчоконгломерати. 3 — Чучулигински гранитоиди и Черничински гранити. Кристалинен цокъл: 4 — мрамори, 5 — гнейси, амфиболити, ултрабазити, еклогити и др., 6 — разлом
Fig. 1. Geological map (after Горанов и др., 1992). Paleogene: 1 — latites, 2 — breccia-conglomerate, 3 — Chuchuliga granitoides and Chernitsa granites. Metamorphic host rocks: 4 — marbles, 5 — gneisses, amphibolites, ultrabasic rocks, eclogites, etc., 6 — fault

Към интрузива се прикрепляват множество тела и апофизи, вместени постепенно или секущо спрямо метаморфитите. Гранитоидите включват множество ксенолити.

Минералогия на гранитоидите

Изследваното тяло е съставено от гранити (субалкални гранити, гранити, субалкални левкогранити, левкогранити), преходящи към гранодиорити. Те притежават гранитова, равномернозърнеста, порфирийна, мицекитова и хипидиоморфна структура и массивна текстура. Изградени са от плагиоклас, калиев фелдшпат, кварц, биотит, мусковит.

Таблица 1

Химичен състав на плагиоклази от Чучулигинските гранитоиди

Table 1

Chemical composition of plagioclases from the Chuchuliga granitoides

Обр. №	Pl(7)	Pl(3)	Pl(3)	Pl(3)	Pl(2)	Pl(2)	Pl(3)	Pl(3)	Pl(3)	Pl(3)	Pl(3)	Pl(3)
SiO ₂	64,89	63,07	63,01	62,75	63,72	62,06	63,04	62,71	63,04	63,53	62,72	63,96
TiO ₂	—	—	—	—	0,05	—	—	—	—	—	—	—
Al ₂ O ₃	23,83	23,05	23,00	23,27	22,09	23,18	22,90	23,00	23,36	22,63	22,40	22,27
FeO	—	—	—	—	—	—	—	—	—	—	—	—
MnO	—	—	0,07	—	—	0,15	—	—	—	—	—	0,10
MgO	—	—	0,20	—	—	—	—	0,39	—	—	0,23	—
CaO	4,39	4,51	4,47	4,44	3,81	4,14	3,67	3,81	4,12	3,86	3,99	3,23
Na ₂ O	6,69	9,08	8,90	8,71	9,70	9,38	9,94	10,38	9,14	9,57	9,70	9,70
K ₂ O	0,25	0,34	0,27	0,26	0,25	0,15	0,38	0,38	0,28	0,36	0,32	1,08
сума	100,1	100,05	99,92	99,43	99,62	99,06	99,93	100,67	99,94	99,95	99,36	100,34
An	26	23	21	22	20	17	16	10	13	19	18	14
Ab	72	85	77	76	78	81	82	88	85	79	80	80
Or	2	2	2	2	2	2	2	2	2	2	2	6

Таблица 2

Химичен състав на калиеви фелдшпати от Чучулигинските гранитоиди

Table 2

Chemical composition of K-feldspars from the Chuchuliga granitoides

Обр. №	Kf-(4)	Kf-(3)									
SiO ₂	60,33	64,85	65,05	65,33	65,32	64,62	65,17	65,24	64,99	64,82	—
TiO ₂	0,22	—	—	—	0,07	—	—	—	—	—	—
Al ₂ O ₃	18,27	18,51	18,47	18,12	18,51	18,22	18,43	18,23	18,43	18,78	—
FeO	0,09	—	—	—	—	0,18	—	—	—	—	—
MnO	—	—	—	—	0,12	—	—	—	—	—	—
MgO	1,84	—	—	—	0,25	—	—	—	—	0,21	—
CaO	—	—	—	—	—	—	—	—	—	—	—
Na ₂ O	5,78	1,57	1,08	0,72	1,29	0,99	1,17	1,43	1,01	1,30	—
K ₂ O	14,21	15,38	15,29	15,40	15,57	15,29	15,30	14,84	14,99	15,49	—
BaO	—	—	—	0,35	—	0,54	—	0,31	0,55	—	—
сума	100,74	100,31	99,97	99,92	101,13	99,84	100,07	100,05	99,97	100,77	—
Or	62	87	90	93	89	90	90	86	90	89	—
Ab	38	13	10	6	11	9	10	13	9	11	—
Cs	—	—	—	1	—	1	—	1	1	—	—

Забележка: Анализите са извършени от Кр. Рекалов и Хр. Станчев.

Таблица 3

Съдържание на Al в някои тетраедрични позиции и рентгенова триклиност на калиеви фелдшпати

Table 3

Al content in some tetrahedral sites and triclinity of K-feldspars

Обр. №	Δр	T ₁ (0)	T ₁ (m)	T ₂
1	0,20	0,516	0,288	0,196
2	0,225	0,450	0,321	0,229
3*	0,00	0,380	0,380	0,240
4*	0,29	0,560	0,260	0,180
5*	0,20	0,490	0,290	0,220

* Данни на Белмустакова и др. (1995).

Таблица 4

Химичен състав на биотити от Чучулигинските гранитоиди

Table 4

Chemical composition of biotites from the Chuchuliga granitoides

Обр. №	Bi-(2)	Bi-(2)	Bi-(6)	Bi-(3)	Bi-(3)	Bi-(3)
SiO ₂	33,70	33,40	36,93	36,65	35,78	36,75
TiO ₂	5,09	4,02	2,43	2,54	1,73	2,19
Al ₂ O ₃	14,08	16,43	17,35	16,47	17,53	17,08
FeO	28,39	25,41	21,43	21,72	21,76	20,96
MnO	0,53	0,66	0,47	0,23	0,25	—
MgO	2,91	4,31	7,95	7,62	10,73	10,27
K ₂ O	10,89	19,67	9,56	9,96	7,12	8,85
сума	95,62	94,93	96,16	95,22	95,94	96,11
K	1,13	1,09	0,93	0,98	0,69	0,85
Mg	0,35	0,52	0,90	0,88	1,21	1,16
Mn	0,04	0,04	0,03	0,02	0,02	—
Fe	1,93	1,71	1,36	1,40	1,44	1,33
Al ^{VI}	0,09	0,24	0,37	0,33	0,29	0,30
Ti	0,31	0,24	0,14	0,15	0,10	0,12
Y	2,72	2,75	2,80	2,78	3,06	2,91
Si	2,74	2,68	2,81	2,83	2,72	2,78
Al ^{IV}	1,26	1,32	1,19	1,17	1,28	1,22
Z	4	4	4	4	4	4
f	85	77	60	61	54	53
al	21	23	23	22	22	22
d	-0,085	-0,03	0,09	0,08	0,005	0,04
t	11,40	8,73	5,00	5,40	3,27	4,12

Задележка: Преизчисленията на кристалохимичните формули са извършени на базата на 11 кислородни атома.

Плагиоклаз. Плагиоклаз I генерация е представен от автоморфни зърна. Понякога се наблюдават срастъци по албитов и карлсбадски закон. Плагиоклаз II изгражда мirmекитови симплекти заедно с кварц. Те се явяват в текtonизирани участъци и са придружени от ситнолюспест мусковит. Според състава си и двете генерации (табл. 1) съответстват на олигоклаз (An_{10-26}). На места се установява слабо изразена зоналност (центрър An_{23} , междуна зона An_{22} и периферна част An_{21}) до отчетлива (съответно $An_{16} - An_{10} - An_{13}$).

Калиев фелдшпат. Представен е от ксеноморфни зърна с различни размери, на места с микроклинова решетка. Той е напукан и брекчиран. Понякога

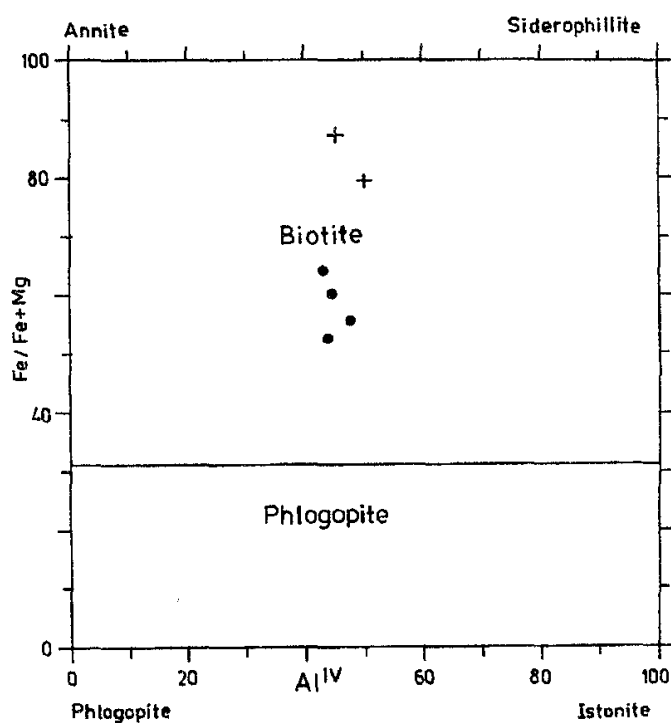
Таблица 5
Химичен състав на мусковити от Чучулигинските гранитоиди

Table 5
Chemical composition of muscovites from the Chuchuliga granitoides

Обр. №	Ms-(3)	Ms-(3)	Ms-(6)	Ms-(6)	Ms-(6)	Ms-(3)	Ms-(3)
SiO ₂	47,38	47,90	47,95	47,45	47,45	46,89	47,93
TiO ₂	1,33	1,26	0,67	0,49	0,63	0,87	0,71
Al ₂ O ₃	27,27	25,02	28,62	29,06	29,08	28,55	28,37
FeO	5,65	5,85	3,91	3,59	4,12	4,47	4,07
MnO	0,11	0,13	—	0,09	0,13	—	—
MgO	—	—	2,07	2,06	1,67	1,69	1,97
Na ₂ O	—	—	—	—	—	0,61	—
K ₂ O	13,52	14,01	10,86	11,16	11,17	11,20	11,36
сума	95,28	94,18	94,10	94,13	94,29	94,31	94,45
K	1,20	1,26	0,95	0,97	0,98	0,99	0,99
Na	—	—	—	—	—	0,08	—
X	1,20	1,26	0,95	0,97	0,98	1,07	0,99
Mg	—	—	0,21	0,21	0,17	0,17	0,20
Mn	0,01	0,01	—	0,01	0,01	—	—
Fe	0,33	0,35	0,22	0,21	0,24	0,26	0,23
Al ^{IV}	1,52	1,46	1,59	1,60	1,60	1,55	1,57
Ti	0,07	0,07	0,03	0,03	0,03	0,05	0,04
Y	1,93	1,89	2,05	2,06	2,05	2,03	2,04
Si	3,29	3,38	3,28	3,26	3,25	3,23	3,28
Al ^{VI}	0,71	0,62	0,72	0,74	0,75	0,77	0,72
Z	4	4	4	4	4	4	4

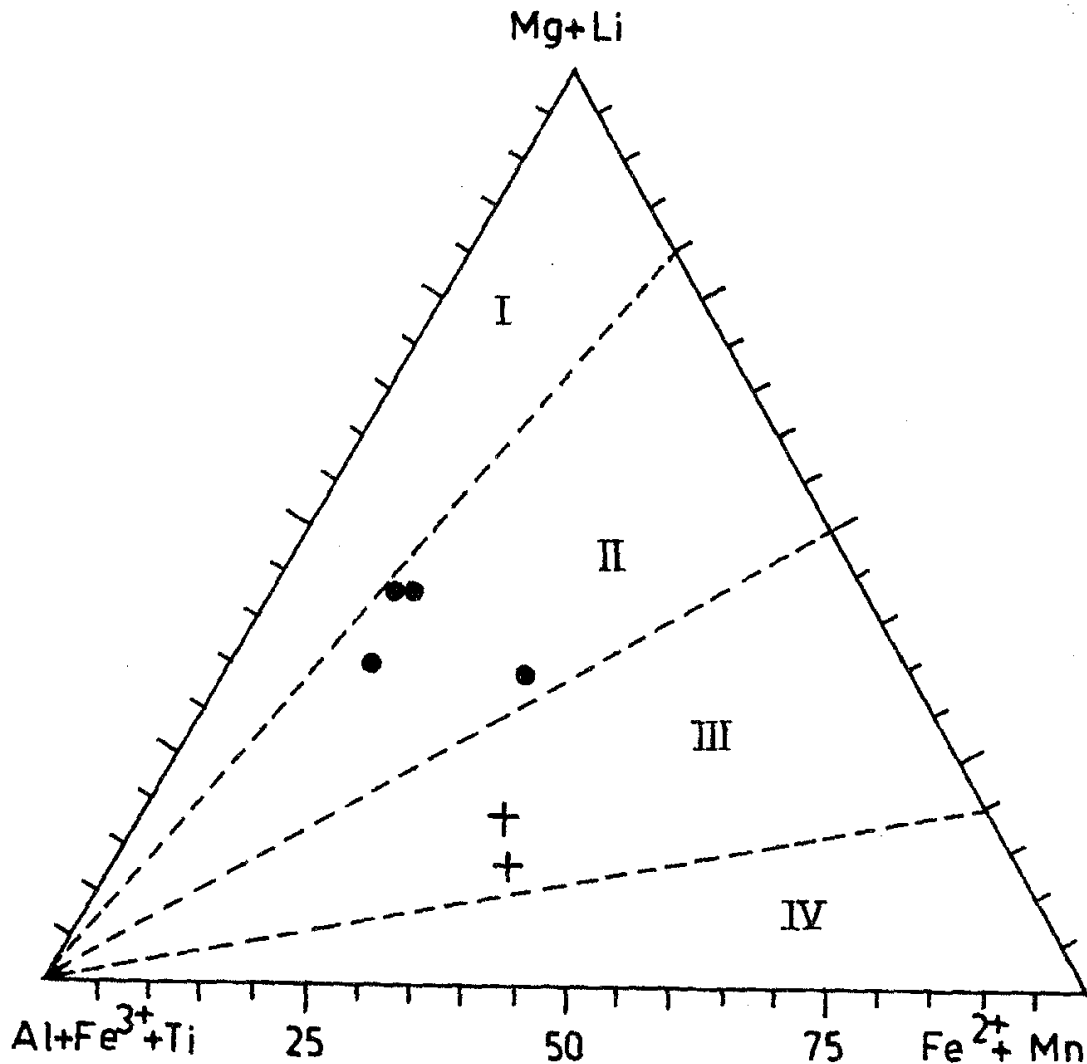
Забележка: Преизчисленията на кристалохимичните формули са извършени на базата на 11 кислородни атома.

съдържа отсмесвания от фини албитови ламели, което индицира микропертит на разпад. Границите на някои зърна са кородирани от мицмекитови симплекти. Отделни кристали са пресечени от биотит-мусковит-хлоритови агрегати. Калиевият фелдшпат включва дребни акцесори.



Фиг. 2. Al^{IV}/Fe/Fe+Mg диаграма на биотити (Дир и др., 1966) от Чучулигинските гранитоиди

Fig. 2. Al^{IV} vs. Fe/Fe+Mg diagram (Дир и др., 1966) for biotites from the Chuchuliga granitoides



Фиг. 3. Триъгълна диаграма (Gottesmann, Tischendorf, 1978) за състави на биотити от Чучулигинските гранитоиди

Fig. 3. Gottesmann, Tischendorf (1978) ternary diagram for biotites from the Chuchuliga granitoides

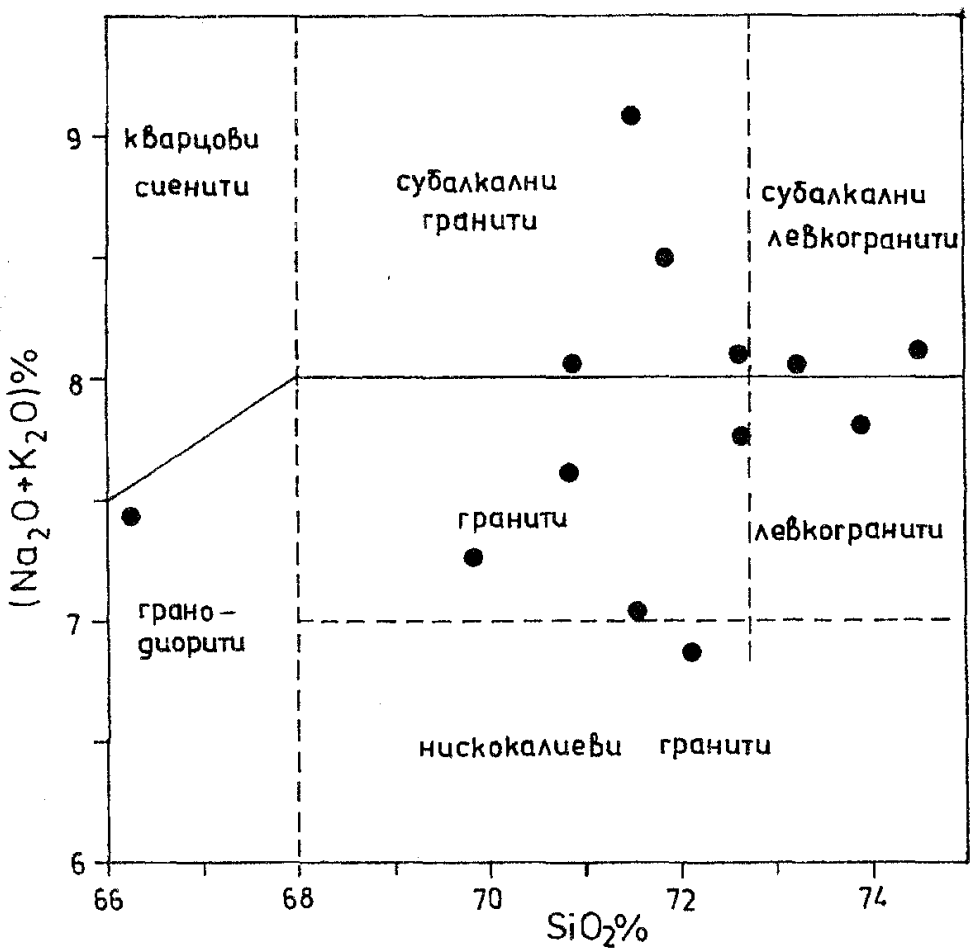
Калиевите фелдшпати са с много ниско съдържание на албитова съставка (Ab_{6+13}), която в зоналните зърна намалява от центъра към периферията (Ab_{13} - Ab_{10} - Ab_6 , съответно център - междинна зона - периферна част). В някои кристали е установено присъствието на целзианова компонента (BaO до 0,55%) - табл. 2.

Рентгеноструктурно калиевият фелдшпат може да се отнесе към тип ортоклас с преход към междинен микроклин (табл. 3).

Кварц. Изгражда ксеноморфни зърна, често с вълновидно до мозаечно потъмнение. На места кварцът е със заоблени очертания или е сегрегиран в ивици. Той включва дребни акцесори и съдържа газово-течни включения.

Биотит. В слабо деформираният гранити е относително равномерно разпределен, а в участъците с по-силна тектонска преработка е съсредоточен в ивици. В различна степен е хлоритизиран и мусковитизиран.

По химизъм биотитът се поделя на две групи (табл. 4). В първата група влизат два състава от мезократни гранити от северната част на тялото. Те се отличават с по-високо съдържание на K_2O , TiO_2 , FeO_t и MnO и съответно по-ниско на SiO_2 , Al_2O_3 и MgO . Тези биотити са по-железисти ($f=85$ и 77) и имат по-ниско съдържание на Al^{VI} . Значително по-високо е количеството на Ti ($t=$



Фиг. 4. $\text{SiO}_2 / (\text{Na}_2\text{O} + \text{K}_2\text{O})\%$ класификационна диаграма на Чучулигинските гранитоиди и Черничинските гранити (Магматические ..., 1983)
 Fig. 4. SiO_2 vs. $\text{Na}_2\text{O} + \text{K}_2\text{O}$ classification diagram for Chuchuliga granitoides and Chernitsa granites (Магматические ..., 1983)

11,40 и 8,37). Освен това те имат по-ниска степен на запълване на октаедричните позиции. Изхождайки от по-високото съдържание на Ti и Fe оксид, както и от степента на запълване на октаедричните позиции според критериите на Коренбум (1987), би могло да се предположи, че тези биотити са ранни и високотемпературни.

Биотитът от втората група е представен с 4 състава от левкократни гранити. Те имат по-високо съдържание на Al^{VI} и Mg , а по-малко на Fe и Ti . По-ниска е степента на запълване с Al^{IV} . Съдържанието на Ti е ниско ($t = 3,27 \div 5,40$).

На класификационната диаграма по Дир и др. (1966) анализираните биотити заемат междинно положение в изоморфните редове анит-флогопит и сидерофилит-истонит (фиг. 2). Съставите на биотитите от първата група са по-близо до анит-сидерофилитовия изоморфен ред, което е обусловено от по-високото съдържание на FeO в тях.

Според класификацията на Gottesmann, Tischendorf (1978), анализираните биотити от левкократните гранити се отнасят към Mg-биотит, а тези от мезократните — предвид по-високото им съдържание на FeO — към Fe^{2+} -биотит (фиг. 3).

Биотитите от двете групи не се отличават отчетливо по показателя aI .

Мусковит. Количество му варира — то е максимално в пегматоидните гранити и минимално в гранодиоритите (табл. 5). Той образува различно голе-

Таблица 6
Химичен и нормативен състав на пробы от Чучулигинските гранитоиди

Table 6
Chemical and normative composition of rock samples from the Chuchuliga granitoides

Обр. №	1	2	3	4	5	6	7	
SiO ₂	66,27	69,85	70,85	70,90	71,55	71,85	71,89	
TiO ₂	0,09	0,21	0,16	0,17	0,10	0,07	0,26	
Al ₂ O ₃	14,44	16,26	15,91	15,27	15,45	15,35	14,28	
Fe ₂ O ₃	0,20	0,93	0,68	0,55	0,46	0,40	0,74	
FeO	0,21	0,83	0,20	0,39	0,47	0,17	0,10	
MnO	—	0,03	0,02	0,02	—	—	0,01	
MgO	0,61	0,49	0,38	0,87	0,64	0,54	0,89	
CaO	6,61	2,89	3,03	2,80	3,71	2,09	1,44	
Na ₂ O	3,29	5,09	4,25	3,22	4,58	4,64	2,42	
K ₂ O	4,31	2,18	3,37	4,85	2,46	3,87	4,45	
P ₂ O ₅	0,04	0,15	0,19	0,12	—	—	0,06	
H ₂ O	0,14	0,11	0,13	0,14	0,04	0,11	0,77	
ЗПН	3,34	0,57	0,63	0,40	0,73	0,57	2,25	
сума	99,55	99,59	99,80	99,70	99,59	99,57	99,56	
някои CIPW нормативни състави								
Qu	20,37	25,53	27,07	27,05	26,37	25,55	37,03	
Or	25,47	12,88	19,92	28,66	14,54	22,34	26,30	
Ab	27,83	43,06	35,96	27,24	41,03	29,26	20,47	
An	22,02	13,36	13,79	12,90	13,14	9,91	6,75	
C	—	0,64	0,22	—	—	—	3,01	
елемент								
Ba	140	850	830	970	730	970	—	RFA
Rb	101	118	139	120	102	88	—	RFA
Sr	76	670	331	735	737	760	—	RFA
Y	3,4	—	—	—	—	—	—	RFA
Zr	125	110	113	106	108	103	—	RFA
La	17	—	—	—	—	—	—	ICP
Ce	35	—	—	—	—	—	—	ICP
Nd	1,5	—	—	—	—	—	—	ICP
Sm	<4	—	—	—	—	—	—	ICP
Eu	<0,05	—	—	—	—	—	—	ICP
Gd	<0,4	—	—	—	—	—	—	ICP
Yb	<0,1	—	—	—	—	—	—	ICP
Lu	<0,03	—	—	—	—	—	—	ICP
Cr	2	2	2	<5	2	4	<5	AAA
Ni	<5	40	<5	<5	<5	<5	<5	AAA
Co	<5	8	5	<5	<5	<5	<5	AAA
Li	33	3	3	7	20	15	5	AAA
Zn	29	83	51	30	43	45	22	AAA
Cu	6	131	22	7	7	6	10	AAA

ми люспи, по чиято цепителност е отложен кварц. Често замества биотита. Понякога мусковитът плеохроира слабо в розово и е ориентиран подобно на биотита. В участъци на тектонска преработка участва в състава на удължени лещи, изградени от кварц и мусковит.

Аксесорните минерали са представени от магнетит, титанит, гранат, циркон, апатит, рутил. Доказани са: алантит, серицит, епидот, хлорит.

Чучулигинските гранитоиди се отличават с изобилие на пегматити, които пресичат както скалите на плутоничното тяло, така и метаморфитите, сред

(Таблица 6 продължение)

Обр. №	8	9	10	11	12	13	14	
SiO ₂	72,63	72,66	73,23	73,91	74,49	71,51	72,13	
TiO ₂	0,22	0,24	0,07	0,10	0,09	0,16	0,22	
Al ₂ O ₃	14,70	14,72	14,90	13,31	14,13	15,35	14,48	
Fe ₂ O ₃	0,91	0,51	0,70	0,80	0,24	0,83	0,83	
FeO	0,53	0,94	0,30	0,25	0,33	0,36	0,17	
MnO	0,02	0,03	0,03	0,02	0,03	0,04	0,02	
MgO	0,27	0,57	0,35	0,81	0,38	0,33	0,30	
CaO	1,49	1,63	1,70	2,60	1,49	1,81	1,16	
Na ₂ O	4,44	4,10	4,71	3,97	3,97	4,80	3,15	
K ₂ O	3,67	3,67	3,24	3,85	4,15	5,29	6,62	
P ₂ O ₅	0,12	0,09	0,02	0,02	0,02	0,01	0,03	
H ₂ O-	0,29	0,06	0,08	0,15	0,28	0,20	0,06	
ЗПН	0,57	0,45	0,26	0,60	0,43	0,67	0,48	
сума	99,86	99,67	99,59	100,39	100,03	100,03	99,65	
някои CIPW нормативни състави								
Qu	29,90	30,65	29,73	30,99	32,10	23,40	25,96	
Or	21,69	21,69	19,15	22,75	24,53	25,35	39,12	
Ab	37,56	34,69	39,85	33,59	33,59	40,61	26,65	
An	6,61	7,50	8,29	7,14	7,52	7,71	6,61	
C	1,01	1,26	0,16	—	0,46	—	0,09	
елемент								
Ba	—	—	290	—	910	—	880	RFA
Rb	—	—	118	—	142	—	112	RFA
Sr	—	—	245	—	386	—	700	RFA
Y	—	0,5	—	—	—	—	0,5	RFA
Zr	—	—	90	—	136	—	137	RFA
La	—	33	—	—	—	—	<10	ICP
Ce	—	70	—	—	—	—	<30	ICP
Nd	—	3,5	—	—	—	—	1,5	ICP
Sm	—	0,8	—	—	—	—	<4	ICP
Eu	—	0,09	—	—	—	—	<0,05	ICP
Gd	—	0,8	—	—	—	—	<0,4	ICP
Yb	—	0,23	—	—	—	—	<0,1	ICP
Lu	—	0,03	—	—	—	—	<0,03	ICP
Cr	<5	<5	<5	<5	<5	3	<5	AAA
Ni	<5	<5	<5	<5	<5	<5	<5	AAA
Co	<5	<5	<5	<5	<5	<5	<5	AAA
Li	23	20	7	2	1	2	2	AAA
Zn	61	156	30	19	118	102	25	AAA
Cu	7	8	7	9	7	101	8	AAA

З а б е л е ж к а: Силикатните анализи са направени от Р. Спасова и Т. Куртева, рентгено-флуоресцентните анализи (RFA) — от Е. Караванова, атомно-емисионните анализи (ICP) — от Л. Алексиева, атомно-абсорбционните анализи (AAA) — от Ел. Ланджева (всички от СУ „Св. Климент Охридски“). Образци 1÷12 са от Чучулигинските гранити, а 13 и 14 са от Черничински-те, които са фелдшпатизирани. Образец 1 е карбонатизиран.

които е вместено. Пегматитите са изградени от кварц, калиев фелдшпат, пла-гиоклаз, биотит, мусковит, гранат.

Наблюдава се скарниране на мраморни ксенолити, по-рядко в приконтактните зони на гранитоидното тяло с мрамори и амфиболити.

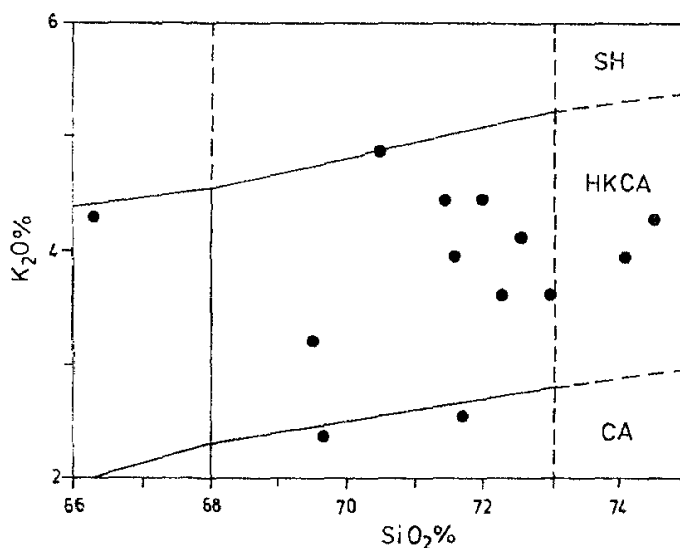
Геохимия на гранитоидите

За геохимичната характеристика на Чучулигинските гранитоиди са направени 14 пълни силикатни анализа на прости от различни части на плутона. Елементите-следи са изследвани посредством рентгено-флуоресцентен анализ (Ba, V, Rb, Sr, Y, Zr), атомно-емисионен спектрален анализ с източник на възбуждане индуктивно свързана плазма (La, Ce, Nd, Sm, Eu, Gd, Yb, Lu) и атомно-абсорбционен спектрален анализ (Cr, Ni, Co, Li, Zn, Cu) — табл. 6 (образец 1 е карбонатизиран, а 13 и 14 са фелдшпатизирани).

На класификационна диаграма $\text{SiO}_2/(\text{K}_2\text{O}+\text{Na}_2\text{O})$ (Магматические горные породы, 1983), анализираните гранитоиди се разполагат в полетата на нормалната и субалкалната серия. Повечето от тях се отнасят към семейството на гранитите (нормални гранити, левкогранити, субалкални гранити и субалкални левкогранити) — фиг. 4.

Според $\text{Na}_2\text{O}/\text{K}_2\text{O}$ отношение ($0,66 \div 2,33$) изследваните гранитоиди могат да се отнесат към калиево-натриевата серия. В образец 14 (калифердшпатизиран) отношението е 0,48, а в друг с голяма загуба при накаляване то е 0,55.

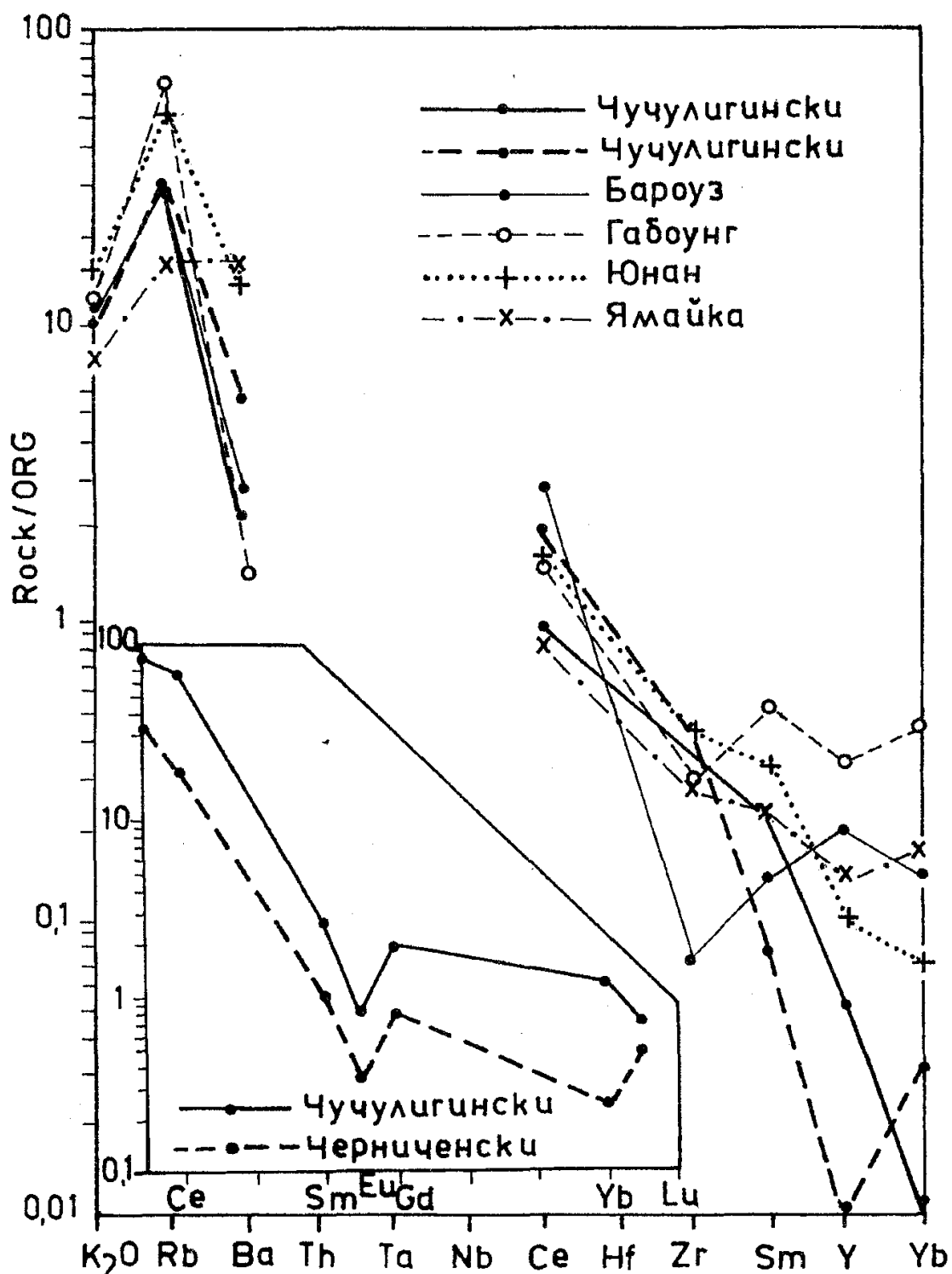
На диаграма $\text{SiO}_2/\text{K}_2\text{O}$ (Peccerillo, Taylor, 1976) анализираните гранити се отнасят към висококалиево-калциевоалкалната (HKCA) и калциево-алкалната (CA) серия (фиг. 5). На тези диаграми фигуративните точки очертават поле с малка вариация на SiO_2 ($69,85 \div 74,49$), но с голям серилен размах, определен от вариациите на алкалиите ($\text{Na}_2\text{O} + \text{K}_2\text{O} = 6,87 \div 8,51$), и по-специално на K_2O ($2,28 \div 4,85$).



Фиг. 5. $\text{SiO}_2/\text{K}_2\text{O}$ класификационна диаграма (Peccerillo, Taylor, 1976, разширена и модифицирана от Stanisheva-Vasileva, Yanev, Harkovska in: Dabovski et al., 1989)
Fig. 5. SiO_2 vs. K_2O classification diagram for Chuchuliga granitoides and Chernitsa granites (Peccerillo, Taylor, 1978, extended and modified by Stanisheva-Vasileva, Yanev, Harkovska in: Dabovski et al., 1989)

Елементи-следи

Рубидий. Съдържанието на Rb в Чучулигинските гранитоиди варира в интервала 88÷142 g/t (табл. 6). Наблюдава се ясно изразена положителна корелация между съдържанията на Rb и K₂O.



Фиг. 6. ORG — нормирано разпределение на някои елементи от образци от Чучулигинските гранитоиди, сравнено с плутоните: Gabung, Yunnan, SW England, Barousse и Jamaica (Pearce et al., 1984); врезка: хондрит — нормирано разпределение на РЗЕ от Чучулигинските гранитоиди и Черничинските гранити

Fig. 6. ORG — normalized distribution patterns of some elements of the Chuchuliga granitoides compared to Gabung, Yunnan, SW England, Barousse and Jamaica granite plutons (Pearce et al., 1984); inset: chondrite — normalized REE distribution of the Chuchuliga granitoides and Chernitsa granites

Стронций. Вариациите в съдържанието на Sr са големи (245÷760 g/t).

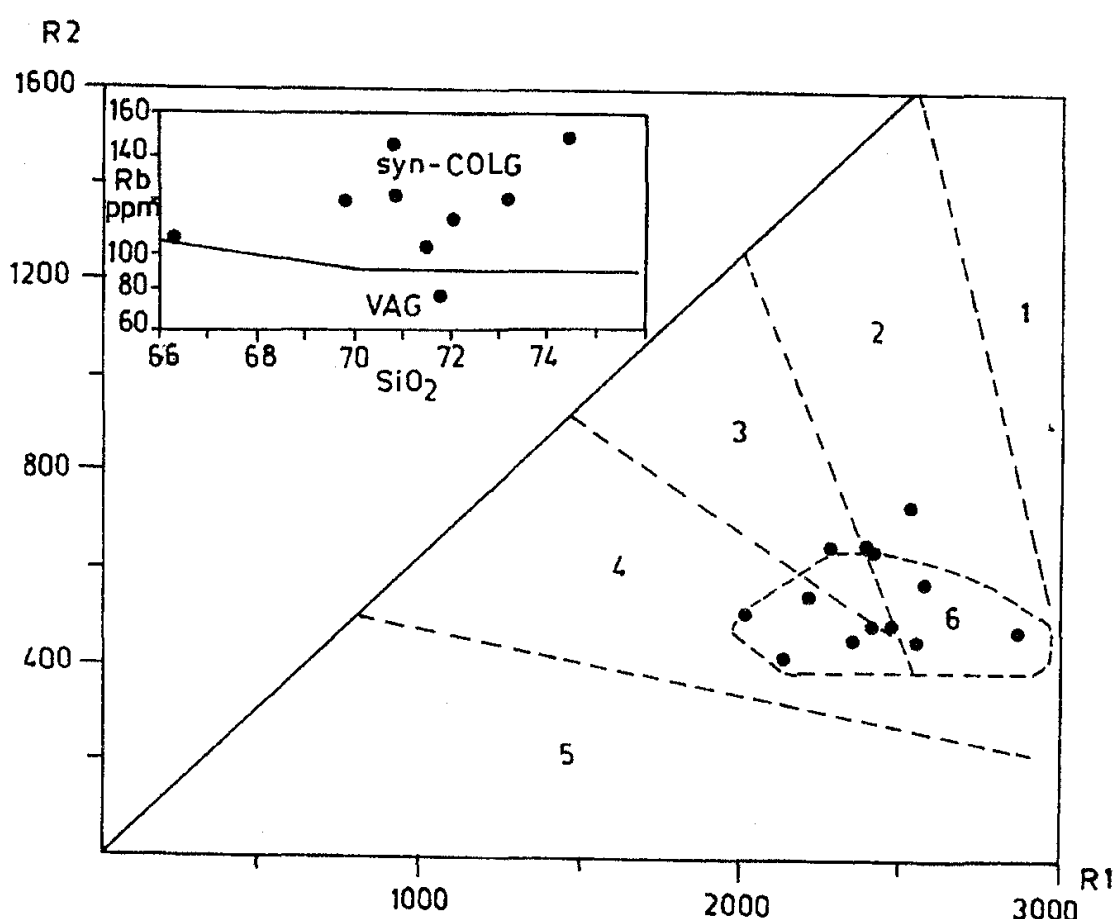
Барий. Стойностите на Ba се колебае в границите 140÷970 g/t. Установява се положителна корелация между съдържанията на Ba и K₂O.

Редкоземните елементи са силно диференциирани, с не много дълбока Eu аномалия ($\text{Eu}' = 0,34 \div 0,38$).

Съдържанието на някои елементи-следи в Чучулигинските гранитоиди е показано заедно с това в други синколизационни гранити (за сравнение е дадена и кривата за вулканско-дъгови гранити от Ямайка) — фиг. 6.

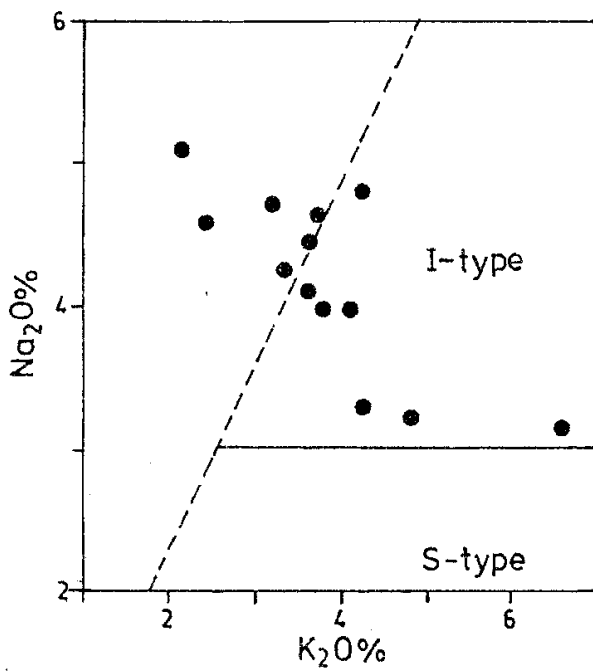
Геодинамична обстановка

На класификационната диаграма R1/R2 (Batchelor, Bowden, 1985), Чучулигинските гранитоиди попадат предимно в полето на синколизационни (анатектични) гранити, с отклонение към предколизионни (деструктивно активни



Фиг. 7. R1/R2 диаграма (Batchelor, Bowden, 1985) за Чучулигинските гранитоиди: 1 — мантийни плагиогранити, 2 — деструктивни ръбове на плочите (доколизионни), 3 — постколизионно издигане, 4 — Ca-алкални и субалкални плутони (късноорогенни), 5 — алкален магматизъм (посторогенен), 6 — анатектичен магматизъм (синорогенен, синколизионен). R1 = 4Si - 11(Na + K) - 2(Fe + Ti), R2 = 6Ca + 2Mg + Al. В горния ляв ъгъл SiO₂/Rb дискриминационна диаграма (Pearce et al., 1984) за Чучулигинските гранитоиди: syn-COLG — синколизионни гранитоиди, VAG — гранитоиди на вулканско-дъгови обстановки

Fig. 7. R1 vs. R2 diagram (Batchelor, Bowden, 1985) of rock samples from Chuchuliga granitoides: 1 — mantle plagiogranite, 2 — destructive active plate margin (pre-plate collision), 3 — post-collision uplift, 4 — Ca-alkaline and sub-alkaline plutons (late-orogenic), 5 — alkaline/peralkaline magmatism (post-orogenic), 6 — anatetic magmatism (syn-orogenic, syn-collision). R1 = 4Si + 11(Na + K) - 2(Fe + Ti), R2 = 6Ca + 2Mg + Al. In the inset SiO₂ vs. Rb diagram (Pearce et al., 1984) of rock samples from Chuchuliga granitoides. syn-COLG, syn-collision granitoids; VAG, volcanic arc granitoids



Фиг. 8. K_2O vs. Na_2O диаграма, илюстрираща I-тип химизма на Чучулигинските гранитоиди (полетата на S- и I-гранити са по Barton, Cidle, 1994)

Fig. 8. K_2O vs. Na_2O diagram illustrating the I-type chemistry of Chuchuliga granitoides (field boundaries for S- and I-type granites according to Barton, Cidle, 1994)

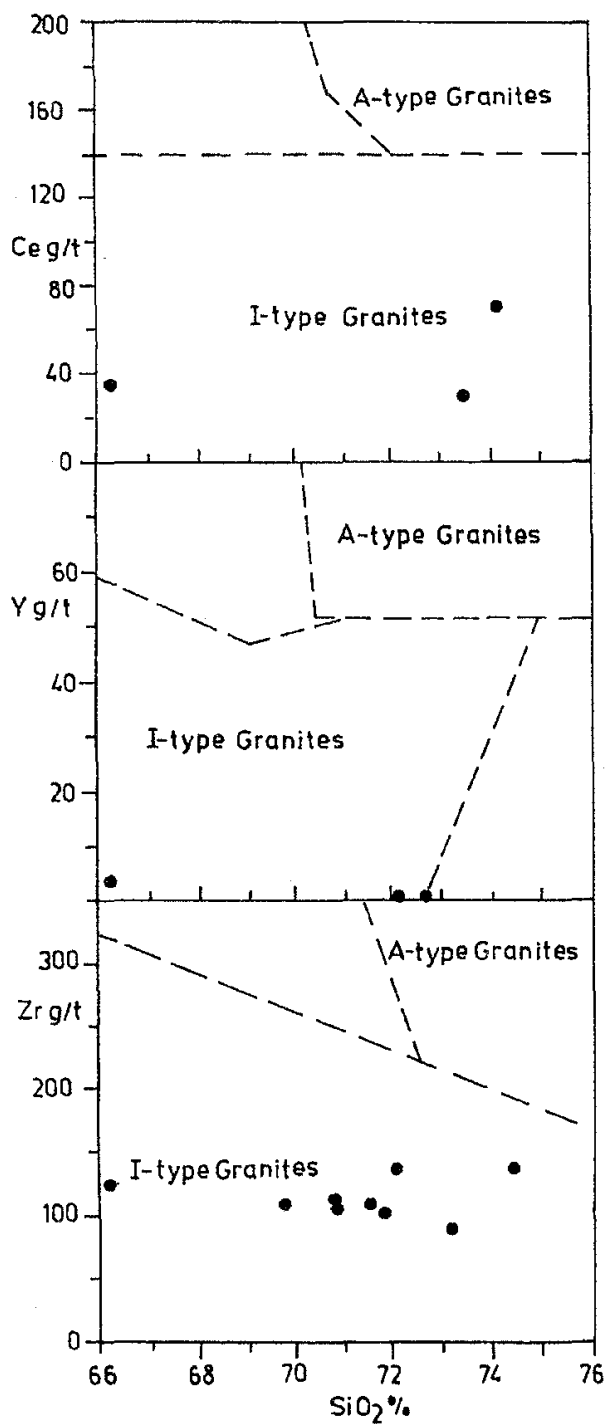
плочови окрайнини) — фиг. 7. На дискриминационната диаграма Rb/SiO_2 (Pearce et al., 1984) фигуративните точки се разполагат в полетата на синколизационни (syn-COLG), с едно отклонение към вулканскодъгови гранити (VAG), фиг. 7-ляво. Геохимичните разпределения, нормирани към океански хребетен гранит (ORG), следват поведението на колизионните гранити (фиг. 6).

По тези характеристики имаме достатъчно основания да предположим, че Чучулигинските гранитоиди са образувани в колизионна геодинамична обстановка.

Геотермометрия

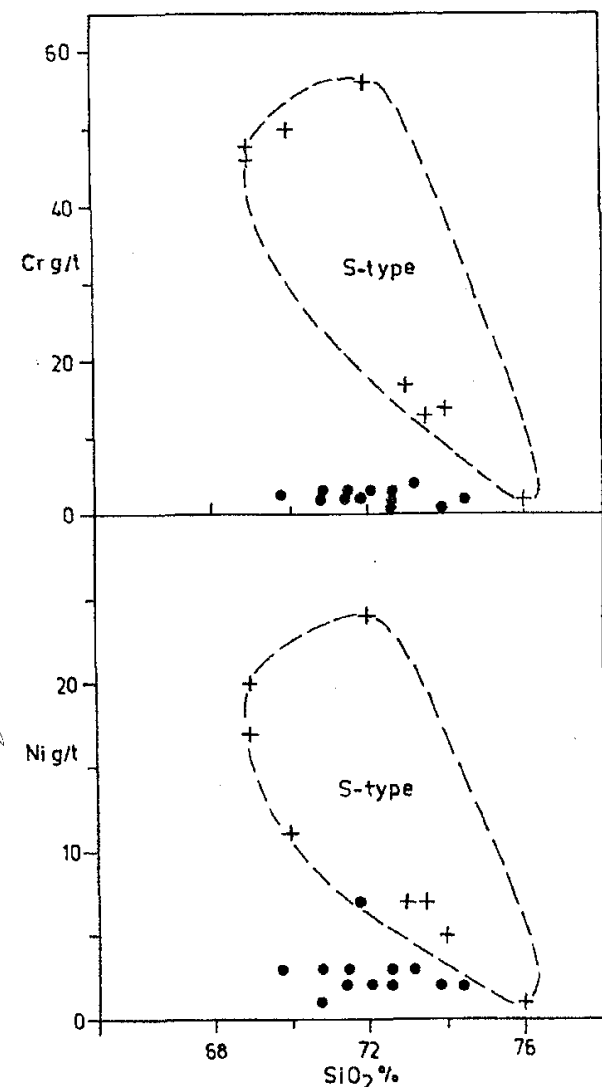
Изчисленията по двуфелдшпатовия термометър на Stogram (1968) са направени при стойности за петростатично налягане от 2 до 8 kbar. Температурите са между 379 и 543°C, а повечето от тях са в рамките $422 \div 520^\circ\text{C}$.

Средните стойности по двуфелдшпатовия термометър на Fuhrmann, Lindsley (1988) с включена целзианова съставка при зададени стойности за петростатично налягане е 475°C . Очевидно е, че тези температури отразяват твърдофазово преуравновесяване на минералните парагенези. При зоналните фелдшпати температурите се понижават от централните части към периферията. Изчислените температури са в границите или малко под температурния интервал на превръщане на моноклинната симетрия в триклинична за калиевите фелдшпати. Този факт може да обясни структурното им състояние (преход от ортоклас към междинен микроклин). Калиевите фелдшпати са кристализирали като моноклинни и при изстиване са започнали да се трансформират в трик-



Фиг. 9. Ce, Y и Zr към SiO_2 диаграми, илюстриращи I-тип химизъм на Чучулигинските гранитоиди (●). Полетата на I - и A-тип гранити са по Collins et al. (1982)

Fig. 9. Plots of Ce, Y and Zr vs. SiO_2 to illustrate the I-type chemistry of Chuchuliga granitoides (●). I- and A-type granite fields after Collins et al. (1982)



Фиг. 10. Диаграми Cr и Ni към SiO_2 за Чучулигинските гранитоиди (●), сравнени с полето на S-тип гранити (построени по данни от Lachlan ския нагънат пояс — White, Chappell, 1988)

Fig. 10. Cr and Ni vs. SiO_2 diagrams for Chuchuliga granitoides (●) compared to S-type granites (after data for Lachlan fold Belt — White, Chappell, 1988)

линни, без обаче да се достигне навсякъде равновесното състояние. Поради това не са достигнали до максимален микроклин. Следователно температурите не отразяват кристализация на гранитоидната топилка, а равновесните условия на алохимичната прекристализация при окончателното формиране на гранитоидните.

Заключение

Чучулигинските гранитоиди са внедрени сред скалите на Родопската надгрупа. Те са образувани в условия на колизия. Гранитоидите могат да се класифицират като I-тип според критериите на Chappell, White (1974), White, Chappell (1988), Kleemann, Twiss (1989), Barton, Chappell (1994), образувани при частично топене на по-стари магмени скали в корови условия. Това твърдение може да бъде подкрепено със следните аргументи:

1. Повишено съдържание на Na_2O (в Чучулигинските гранитоиди то е $3,3 \div 5,1\%$);
2. Не се наблюдава превес на съдържанието на K_2O над Na_2O ;
3. Съдържанията на CaO в Чучулигинските гранитоиди са високи в сравнение с тези от S-тип гранити;
4. Индексът на алуминиевата наситеност (ASI) на изследваните гранитоиди е под 1,1 (0,654—1,076), прието като граница за двета типа гранити;
5. В някои CIPW нормативни състави на Чучулигинските гранитоиди се появяват малки количества диопсид и корунд;
6. Като цяло се наблюдават по-ниски съдържания на Rb , Ba , Y , La , Ce , Ni и Cr , сравнени с типичните S-тип гранити;
7. Фигуративните точки на състави от Чучулигинските гранитоиди попадат в полетата на I-тип гранити на класификационните диаграми: $\text{K}_2\text{O}\% - \text{Na}_2\text{O}\%$ (Barton, Chappell, 1994) — фиг. 8, mol. $\text{Al}_2\text{O}_3 / (\text{Na}_2\text{O} + \text{K}_2\text{O} + \text{CaO}) - \text{SiO}_2\%$ (Chappell, White, 1974), $\text{SiO}_2\% - \text{Zr}$, $\text{SiO}_2\% - \text{Y}$, $\text{SiO}_2\% - \text{Ce}$ — фиг. 9 (последните три по Kleemann, Twiss, 1989) и извън полетата на S-гранити на диаграмите $\text{SiO}_2\% - \text{Ni}$, $\text{SiO}_2\% - \text{Cr}$, (фиг. 10), $\text{SiO}_2\% - \text{Rb}$, $\text{SiO}_2\% - \text{Y}$ и $\text{SiO}_2\% - \text{La}$ (White, Chappell, 1988).

Авторите благодарят на Комитета по геология и минералните ресурси, които финансираха това изследване, и на И. Янев, А. Андреев, Зл. Чернева, Р. Арнаудова, Л. Грозданов, А. Харковска, които прегледаха ръкописа и направиха своите критични бележки. Изследванията са завършени като част от проект Н3—641 на Националния фонд „Научни изследвания“.

Литература

- Белмустакова, Х. 1984. Петрографска характеристика на гранитоидните plutoni от Ихтиманска Средна гора. — *Геохим., минер. и петрол.*, 18, 56-83.
- Белмустакова, Х., И. Боянов, И. Иванов, П. Лилов. 1995. Гранитоидные тела обрамления Белоречского поднятия в Восточных Родопах. — *Докл. БАН*, 48, 4, 37-40.
- Боянов, И., Б. Маврудчиев, И. Вапцаров. 1963. Върху структурно-формационните особености на част от Източните Родопи. — *Изв. Геол. Инст.*, 12, 125-186.
- Горанов, А., Д. Кожухаров, И. Боянов, Е. Кожухарова. 1995. Геологка карта на България в M 1:100 000. Лист Крумовград и Сапе. — Комитет по геология и минерални ресурси, С.
- Дир, У. А., Р. А. Хауи, Дж. Зусман. 1966. Породообразующие минералы. Т. 3. М. Мир. 316 с.
- Коренбаум, С. А. 1987. *Типоморфизм слюд магматических пород*. М., Наука. 142 с.
- Магматические горные породы. 1983. Классификация, Номенклатура, Петрография. Т. 2. М., Наука. 356 с.
- Barton, M., W. C. Chapple. 1994. Petrological and geochemical evidence for granitoid formation: the Waldoboro pluton complex, Maine. — *J. Petrol.*, 35, 1241-1274.
- Batchelor, R. A., P. Bowden. 1983. Petrogenetic interpretation of granitoid rock series using multicationic parameters. — *Chem. Geol.*, 48, 43-55.
- Chappell, B. W., A. J. R. White. 1974. Two contrasting granite types. — *Pacif. Geol.*, 8, 173-174.
- Chappell, B. W., W. E. Stephens. 1988. Origin of infracrustal (I-type) granite magmas. — *Trans. R. Soc. Edinburg: Earth Sci.*, 79, 71-86.

- Collins, W. J., S. D. Beams, A. J. R. White, B. W. Chapple. 1982. Nature and origin of A-type granites with particular reference to south-eastern Australia. — *Contrib. Mineral. Petrol.*, **80**, 189-200.
- Dabovski, C., A. Harkovska, B. Kamennov, B. Mavrudchiev, G. Stanisheva - Vassileva, Y. Yanev. 1991. A geodynamic model of the Alpine magmatism in Bulgaria. — *Geologica Balc.*, **21**, 4, 3-15.
- Furman, M., D. Lindsay. 1988. Ternary-feldspar modeling and thermometry. — *Amer. Mineral.*, **73**, 201-215.
- Gottesmann, B., G. Tischendorf. 1978. Klassifikation, Chemismus und Optik trioctaedrischer Glimmer. — *Z. geol. Wiss.*, **6**, 681—708.
- Kleemann, G. J., D. Twist. 1989. The compositionally-zoned sheet-like granite pluton of the Bushveld complex: evidence bearing on the nature of A-type magmatism. — *J. Petrol.*, **30**, 1381-1414.
- Pearce, J. A., N. B. W. Harris, A. G. Tindle. 1984. Trace elements discrimination diagrams for the tectonic interpretation of granitic rocks. — *J. Petrol.*, **25**, 956-983.
- Peccerillo, A., Taylor, S. R. 1976. Geochemistry of Eocene calc-alcaline rocks from Kastramonou area, Northern Turkey. — *Contrib. Mineral. Petrol.*, **58**, 63-81.
- Stormer, J. C. Jr., Whitley, J. A. 1985. Two feldspar and iron-titanium oxide equilibria in silicic magmas and the depth of origin of large volume ash-flow tuffs. — *Amer. Mineral.*, **70**, 52-64.
- White, A. J. R., B. W. Chapple. 1977. Ultrametamorphism and granitoid genesis. — *Tectonophysics*, **43**, 7-22.
- White, A. J. R., B. W. Chapple. 1988. Some supracrustal (S-type) granites of the Lachlan fold belt. — *Trans. R. Soc. Edinburgh: Earth Sci.*, **79**, 169-181.

Одобрена на 05. 06. 1997 г.

Accepted June 5, 1997